

КРАТКИЕ СООБЩЕНИЯ

УДК 548.736:541.49:538.111

МОЛЕКУЛЯРНАЯ СТРУКТУРА ДИ-ТРЕТ-БУТИЛАМИНСОДЕРЖАЩЕГО МОНОРЕБЕРНО-ФУНКЦИОНАЛИЗИРОВАННОГО ТРИС-ДИОКСИМАТНОГО КЛАТРОХЕЛАТА ЖЕЛЕЗА(II)

© 2007 А.Б. Бурдуков¹*, Н.В. Первухина¹,
М.А. Вершинин¹, Я.З. Волошин²

¹Институт неорганической химии им. А.В. Николаева СО РАН, Новосибирск

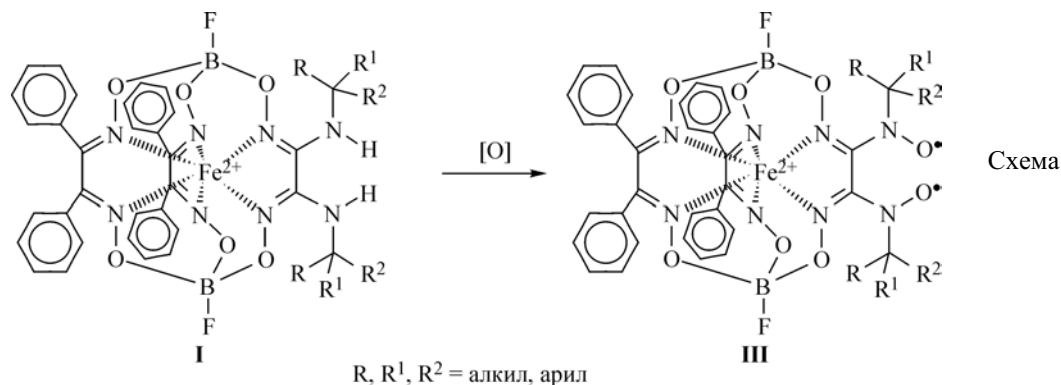
²Институт элементоорганических соединений им. А.Н. Несмиянова РАН, Москва

Статья поступила 21 июля 2006 г.

Методом рентгеноструктурного анализа определено строение *трис*-диоксиматного клатрохелата железа 1,8-бис(фторобора)-2,7,9,14,15,20-гексаокса-3,6,10,13,16,19-гексааза-4,5,11,12-тетрафенил-17,18-бис(*трет*-бутиламино)-бицикло[6.6.6]эйкоза-3,5,10,12,16,18-гексаен(2)-железо(2+). Соединение имеет молекулярную структуру, кристаллизуется в триклинической сингонии: $a = 10,7673(2)$, $b = 11,9520(4)$, $c = 22,5473(7)$ Å, $\alpha = 75,729(1)$, $\beta = 89,161(1)$, $\gamma = 65,334(1)^\circ$, $V = 2542,64(13)$ Å³, $Z = 2$, пр. гр. $P\bar{1}$.

Ключевые слова: клатрохелаты, железо(II), структуры.

Стерически-затрудненные вторичные аминогруппы *трист*-диоксиматных клатрохелатов железа(II) являются возможными синтетическими предшественниками соответствующих нитроксильных заместителей в диоксиматном фрагменте (см. схему). В ходе предпринятого нами исследования в этой области был выделен и структурно охарактеризован методом РСА клатрохелат железа(II), содержащий два *трем*-бутиламинных заместителя (комплекс I), молекулярная структура которого будет описана в настоящем сообщении.



Экспериментальная часть. Клатрохелат **I** получен из дихлоридного предшественника **II** (1,8-бис(фторобора)-2,7,9,14,15,20-гексаокса-3,6,10,13,16,19-гексааза-4,5,11,12-тетрафенил-17,18-дихлор-бицикло[6.6.6]эйкоза-3,5,10,12,16,18-гексаен(2-)железо(2+)) путем нуклеофильного замещения атомов хлора действием *tert*-бутиламина, как было описано ранее в [1]. Кристаллы соединения, пригодные для РСА, были получены испарением раствора комплекса **I** в толуоле. Уточнение параметров элементарной ячейки и получение набора интенсивностей для монокристалла соединения **I**·C₆H₅CH₃ проведено на автоматическом дифрактометре Bruker Nonius X8 APEX с 4K CCD детектором [2]. Дифракционные данные получены по стан-

* E-mail: alex@cys.che.nsk.su

дартной методике при 293 К (излучение $\text{Mo}K_{\alpha}$, $\lambda = 0,71073 \text{ \AA}$, графитовый монохроматор). Поглощение учтено полуэмпирически с использованием интенсивностей эквивалентных рефлексов.

Структура расшифрована прямым методом с использованием программы SIR-2004 [3] и уточнена полноматричным МНК по F^2 в анизотропном приближении для неводородных атомов с использованием комплекса программ SHELLX-97 [4]. Атомы водорода локализованы геометрически и уточнены в приближении жесткого тела. Кристаллографические данные и параметры расшифровки кристалла I·C₆H₅CH₃ суммированы в табл. 1, основные длины связей и валентные углы приведены в табл. 2. Структура соединения депонирована в Кембриджском банке структурных данных (№ 612412) и может быть получена по адресу <http://www.ccdc.cam.ac.uk/products/csd/request/>.

Таблица 1

Кристаллографические данные и условия дифракционного эксперимента

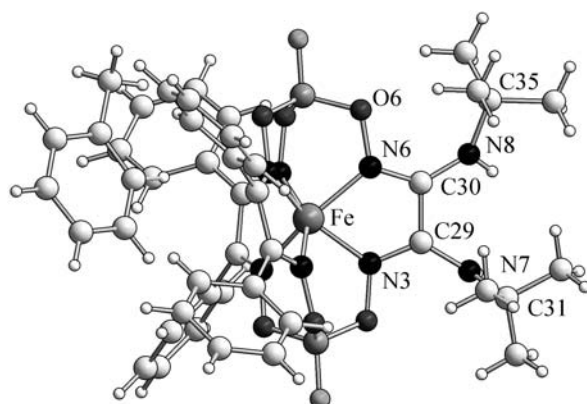
Брутто-формула	C ₅₂ H ₅₆ B ₂ F ₂ FeN ₈ O ₆
Молекулярная масса	1004,52
Сингония	Триклиническая
Пространственная группа	P $\bar{1}$
Параметры элементарной ячейки	
$a, b, c, \text{\AA}$	10,7673(2), 11,9520(4), 22,5473(7)
$\alpha, \beta, \gamma, \text{град.}$	75,729(1), 89,161(1), 65,334(1)
Объем, \AA^3	2542,6 (1)
Z	2
$d_{\text{выч.}}, \text{г}/\text{см}^3$	1,312
Коэффициент поглощения, мм^{-1}	0,361
Размер кристалла, мм	0,20×0,12×0,08
Диапазон сбора данных по θ , град.	1,87 – 23,26
I_{hkl} измеренных	14093
$I_{hkl} > 2\sigma_I$	7184 ($R_{int} = 0,0218$)
Макс. и мин. пропускание	0,9717 и 0,9313
GOOF для F^2_{hkl}	1,082
R_I ($I > 2\sigma_I$)	0,0509
wR_2	0,1510

Таблица 2

Основные длины связей d , \AA и валентные углы ω , град. в молекуле I

Связь	d	Валентный угол	ω
Fe — N(1)	1,897(3)	N(1) — Fe — N(4)	114,5(1)
Fe — N(4)	1,898(3)	N(1) — Fe — N(2)	87,5(1)
Fe — N(2)	1,900(3)	N(4) — Fe — N(2)	78,5(1)
Fe — N(3)	1,902(3)	N(1) — Fe — N(3)	86,9(1)
Fe — N(5)	1,915(3)	N(4) — Fe — N(3)	153,5 (1)
Fe — N(6)	1,938(3)	N(2) — Fe — N(3)	87,5(1)
N(6) — C(30)	1,306(4)	N(1) — Fe — N(5)	78,1(1)
N(3) — C(29)	1,304(4)	N(4) — Fe — N(5)	87,9(1)
C(30) — N(8)	1,356(4)	N(2) — Fe — N(5)	154,1(1)
C(29) — N(7)	1,403(4)	N(3) — Fe — N(5)	112,8(1)
N(8) — C(35)	1,470(5)	N(1) — Fe — N(6)	153,4(1)
N(7) — C(31)	1,478(6)	N(4) — Fe — N(6)	87,1(1)
		N(2) — Fe — N(6)	113,1(1)
		N(3) — Fe — N(6)	77,9(1)
		N(5) — Fe — N(6)	87,8(1)

Молекулярная структура клатрохелата I



ный полиэдр инкапсулированного иона железа(II) имеет существенно искаженное тригонально-призматическое (ТП) окружение: угол искажения φ от тригональной призмы ($\varphi = 0^\circ$) к тригональной антипризме ($\varphi = 60^\circ$) составляет $27,6^\circ$. В работе [1], исходя из величины квадрупольного расщепления (КР) в мессбауэровском ^{57}Fe спектре (КР = 0,41 мм/с) и на основании концепции парциальных КР [6], было предсказано, что этот угол находится в диапазоне 25 — 30° . Это демонстрирует хорошую корреляцию предсказанных и экспериментально определенных значений КР. Высота h координационного полидра составляет $2,30\text{ \AA}$ и является характерной для борсодержащих *трис*-диоксиматных кратрохелатов железа(II) с углом искажения приближающимся к 30° [5].

Расстояния Fe—N в координационном полидре изменяются в пределах $1,90$ — $1,94\text{ \AA}$. Следует отметить увеличение расстояния Fe—N до $1,938(3)\text{ \AA}$ (по сравнению с обычным $1,90(1)\text{ \AA}$) в случае донорного атома азота N(6), входящего в состав *трем*-бутиламиодоксиматного фрагмента кратрохелатного остова, в то время как для второго атома азота диаминдиоксиматного фрагмента расстояние Fe—N близко к стандартным значениям (см. табл. 2). Аналогичный эффект наблюдался и для другого кратрохелата железа(II) с объемными аминными заместителями в реберном фрагменте [7]. Следует отметить, что *трем*-бутиламинные заместители в молекуле I имеют существенно отличающиеся ориентации по отношению к кратрохелатному остову: одна из них практически копланарна соответствующему амидоксиматному фрагменту (двуугранный угол между плоскостями N(3)N(6)C(29)C(30) и C(30)N(8)C(35) составляет $17,5^\circ$, а вторая практически перпендикулярна этому фрагменту (двуугранный угол между плоскостями N(3)N(7)C(29)C(30) и C(29)N(7)C(31) равен $86,3^\circ$). "Копланарный" *трем*-бутиламинный заместитель имеет короткий контакт с атомом кислорода O(6): расстояния от него до ближайших атомов углерода *трем*-бутильной группы составляют $3,05$ и $3,06\text{ \AA}$, тогда как сумма ван-дер-ваальсового радиуса кислорода ($1,29\text{ \AA}$ [8]) и эффективного радиуса метильной группы ($2,0\text{ \AA}$ [9]) равна $3,29\text{ \AA}$. По-видимому, увеличение расстояния Fe—N(6) в координационном полидре вызвано стерическими затруднениями, создаваемыми объемной *трем*-бутильной группой. Следует отметить, что валентный угол N(6)C(30)N(8) также увеличен до 132° .

В случае второго *трем*-бутиламинного заместителя не наблюдается каких-либо коротких контактов с атомами кратрохелатного остова. Расстояния C—N в *трем*-бутиламинных группах близки к $1,47\text{ \AA}$ и типичны для производных *трем*-бутиламина [10]. Остальные длины связей и валентные углы в молекуле I также имеют обычные значения.

Таким образом, нами структурно охарактеризован бис-*трем*-бутиламинный *трис*-диоксиматный кратрохелат железа(II), в молекуле которого наблюдается незначительное искажение кратрохелатного остова из-за стерических затруднений, вызванных объемным *трем*-бутильным заместителем.

Работа выполнена при финансовой поддержке Российского фонда фундаментальных исследований (гранты № 04-03-32302 и 06-03-32626) и ОХНМ РАН (программа № 7).

СПИСОК ЛИТЕРАТУРЫ

1. Voloshin Ya.Z., Zavodnik V.E., Varzatskii O.A. et al. // Inorg. Chim. Acta. – 2001. – **321**. – P. 116 – 134.
2. Bruker AXS Inc. (2004). APEX2 (Version 1.08), SAINT (Version 7.03), and SADABS (Version 2.11). Bruker Advanced X-ray Solutions, Madison, Wisconsin, USA.
3. Burla M.C., Caliandro R., Camalli M. et al. // J. Appl. Crystallogr. – 2005. – **38**. – P. 381 – 388.
4. Sheldrick G.M. (1997). SHELXS-97 and SHELXL-97. Programs for the Refinement of Crystal Structures. University of Göttingen, Germany.
5. Voloshin Ya.Z., Kostromina N.A., Krämer R. Clathrochelates: synthesis, structure and properties. – Amsterdam: Elsevier, 2002.
6. Voloshin Y.Z., Polshin E.V., Nazarenko A.Y. // Hyperfine Interact. – 2002. – **141–142**. – P. 309.
7. Бурдуков А.Б., Богуславский Е.Г., Резников В.А. и др. // Изв. РАН. Сер. хим. – 2005. – № 5. – С. 1097 – 1102.
8. Зефиров Ю.В., Зоркий П.М. // Успехи химии. – 1989. – **LVIII**, № 5. – С. 713 – 746.
9. Mathews C.K., Holde K.E.V. Biochemistry. 2-d ed. – Menlo Park: The Benjamin&Cummings Publishing Company, Inc., 1996.
10. Cambridge structural database ver. 5.27. F. H. Allen, O. Kennard // Chem. Design Automat. News. – 1993. – **8**. – P. 31.